

Peningkatan Gain dengan Teknik Multilayer Parasitic pada Perancangan Antena Mikrostrip Persegi Panjang 2,4 GHz

By Eva Yovita Dwi Utami

Peningkatan Gain dengan Teknik Multilayer Parasitic pada Perancangan Antena Mikrostrip Persegi Panjang 2,4 GHz

Eva Yovita Dwi Utami^{1*)}, Chorintan Prabelia²⁾, Fransiscus Dalu Setiaji³⁾ dan Yuyu Wahyu⁴⁾

5

19^{1,2,3)} Program Studi Teknik Elektro Universitas Kristen Satya Wacana, Salatiga, Indonesia

4) Pusat Penelitian Elektronika dan Telekomunikasi, Lembaga Ilmu Pengetahuan Indonesia, Bandung, Indonesia

Corresponding Email: *)eva.utami@uksw.edu

Abstract – Microstrip patch antennas offer low profile and low cost fabrication advantage²⁶ but limited gain and bandwidth. Some methods have been proposed¹⁸ and developed to improve gain of microstrip antenna. In this paper, the design and realization of a microstrip antenna with multilayer parasitic rectangular patch that operates at frequency of 2.4 GHz is presented. Parasitic multilayer method is used to increase antenna gain. The designed antenna consists of a rectangular patch of a single element as the main element on the first layer and the 2x2 configuration of rectangular patches on second and third layers of the parasitic substrate. The simulation results show that the single element antenna has a gain of 3.224 dB and increases to 8.593 dB in the parasitic multilayer antenna. The antenna gain was then fabricated using an Epoxy FR4 substrate with a dielectric constant of 4.65 and a thickness of 1.6 mm. The fabricated multilayer parasitic microstrip antenna has dimension of 80 mm²⁸ 90 mm × 34.8 mm. The measurement results show that the VSWR value is 1.284 and the return loss is -18.091 dB at the center frequency of 2.442 GHz. The gain of the multilayer parasitic microstrip antenna measurement results is 9.1 dB. The operation frequency range is 2.32 - 2.565 GHz at VSWR < 2, the bandwidth of 245 MHz is achieved and unidirectional radiation patterns are obtained.

Key words: microstrip, patch, rectangular, gain, multilayer parasitic

I. PENDAHULUAN

Sistem komunikasi nirkabel berkembang sangat pesat karena fleksibilitasnya dibandingkan komunikasi menggunakan jaringan kabel. Antena berperan penting dalam komunikasi nirkabel karena berfungsi untuk memancarkan gelombang elektromagnetik ke ruang bebas atau udara dan menerima gelombang elektromagnetik dari ruang bebas. Sistem komunikasi nirkabel juga bersifat semakin personal, yaitu menggunakan perangkat komunikasi yang dapat dibawa dan lebih mudah berpindah dari satu tempat ke tempat yang lainnya, misalnya pada komunikasi seluler, *Wireless Local Area Network* (WLAN), Bluetooth dan RFID. Pada komunikasi seluler telah berkembang standard dari generasi pertama sampai dengan menyongsong generasi kelima. Teknologi WLAN juga terus dikembangkan berdasar pada standar

IEEE 802.11b¹⁷ n/ac yang semakin ditingkatkan *data rate*-nya serta bekerja pada frekuensi 2,4 GHz dan 5,8 GHz [1].

Kemajuan teknologi komunikasi nirkabel tersebut mensyaratkan perangkat terminal berukuran kecil dan mudah dibawa kemana saja. Hal ini berujung pada kebutuhan alat²² yang sederhana, ringan dan berukuran realtif kecil. Salah satu antena²³ yang dikembangkan untuk perangkat yang kecil adalah antena mikrostrip. Antena mikrostrip merupakan jenis antena tercetak yang terdiri dari *patch* logam yang dicetak di atas suatu substrat tipis yang memiliki *ground plane* di bagian bawahnya [2]. Antena mikrostrip memiliki keunggulan dalam hal bentuknya yang sederhana, berukuran kecil, ringan, harga fabrikasi yang rendah, kuat secara mekanik jika dipasang pada permukaan yang kaku, dapat difabrikasi oleh teknologi *printed-board* modern serta mudah diintegrasikan dengan *microwave integrated circuits* (MICs) [2],[3],[4]. Namun demikian antena mikrostrip memiliki kelemahan dalam hal *bandwidth*, *gain* dan efisiensi yang rendah, sehingga harus digunakan metode tertentu untuk meningkatkannya.

Salah satu metode untuk meningkatkan *gain* adalah dengan metode *array*. Perancangan antena mikrostrip *array* telah dilaporkan pada [5] yaitu merancang antena mikrostrip¹⁴ *patch* persegi panjang dengan *array* dua elemen pada frekuensi 2,4 GHz. Pada [6] dirancang⁷ antena mikrostrip segiempat planar *array* 2x2 pada frekuensi 2,4 GHz dan pada [7] dilakukan simulasi *linear array* mikrostrip persegi panjang dengan elemen tunggal, *array* 2x1 dan *array* 4x1. Perancangan antena pada ketiga penelitian tersebut berhasil menunjukkan bahwa antena *array* memiliki *gain* yang lebih besar daripada antena elemen tunggal. Sementara itu bentuk *patch* yang berbeda diteliti pada [8] yaitu dirancang antena mikrostrip²⁷ berbentuk lingkar dengan *array* 4 elemen pada frekuensi 2,4 GHz.

Kelemahan dari metode *array* adalah memiliki dimensi yang masih terlalu luas dan kesulitan dalam melakukan perancangan pada teknik pencatunya. Hal ini dikarenakan semakin banyak elemen antena yang disusun untuk meningkatkan *gain*, semakin rumit perhitungan dan perancangan teknik pencatunya dalam mendapatkan kondisi *matching impedance*.

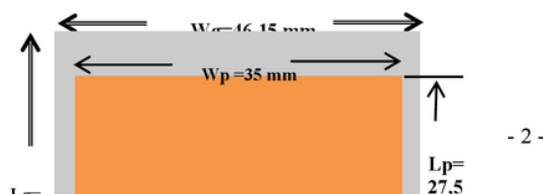
Metode lainnya untuk meningkatkan *gain* adalah dengan *multilayer parasitic*, seperti dilaporkan dalam [9],[10],[11]. Penelitian [9] dan [11] mengemukakan bahwa metode *multilayer parasitic* dapat mengurangi luas dimensi antena namun tetap menghasilkan *gain* yang besar dan lebih mudah dalam perancangan teknik pencatuananya karena hanya dilakukan pada antena utama (*layer pertama*) yang berupa *single patch*, sehingga tidak perlu merancang saluran transmisi yang banyak seperti pada metode *array*. Pada [9] dibahas desain antena mikrostrip *multilayer parasitic* untuk meningkatkan *gain* pada frekuensi 5.8 GHz yang menghasilkan peningkatan *gain* 62.3% dari 2,012 dB menjadi 8.656 dB berdasarkan hasil simulasi. Pada [10] antena *multilayer parasitic* didesain pada frekuensi 2,35 GHz dengan hasil pengukuran menunjukkan pola radiasi unidirectional dengan beamwidth azimuth 70° dan *gain* sebesar 4,64 dB. Perancangan antena dengan teknik *multilayer* yang digabungkan dengan *array* dilaporkan pada [12] yaitu perancangan *array mikrostrip 1x2* dengan *patch persegi* untuk aplikasi 2,45 GHz dengan jumlah *layer* 5 elemen. Hasil yang diperoleh adalah *gain* sebesar 8,25 dB.

Dalam makalah ini akan dibahas hasil perancangan antena mikrostrip *patch* persegi panjang dengan penambahan teknik *multilayer parasitic* untuk meningkatkan *gain* antena pada frekuensi 2,4 GHz.

II. METODOLOGI

Antena yang dirancang adalah antena mikrostrip *patch* persegi panjang *multilayer parasitic*, terdiri dari tiga *layer*. Layer pertama merupakan antena utama yang berupa *patch* persegi panjang tunggal. *layer* kedua dan ketiga merupakan elemen *parasitic* dengan konfigurasi 7×2 . Konfigurasi ini mengacu pada [9] dan [10]. Bahan substrat yang digunakan adalah FR4 Epoxy dengan nilai permittivitas relatif 6,65 dan ketebalan 1,6 mm. Antena dirancang untuk beroperasi pada frekuensi 2,4-2,4835 GHz dengan frekuensi tengah 2,442 GHz. Antena dirancang untuk dapat memenuhi nilai VSWR ≤ 2 dan *return loss* ≤ -9.54 dB pada frekuensi operasi dan memenuhi nilai impedansi 50Ω . Pada antena utama digunakan teknik pencatuan *microstrip line feed* dengan *inset fed*. Dalam proses perancangan, digunakan *software* simulasi CST Microwave Studio.

Antena utama berbentuk *patch* persegi panjang. Prosedur perancangan antena dilakukan seperti prosedur perancangan antena tunggal *patch* persegi panjang pada [5] berdasarkan persamaan-persamaan matematis dalam [2],[13] untuk mendapatkan dimensi antena sesuai spesifikasi yang diinginkan. Hasil perhitungan dimensi antena dimasukkan ke dalam rancangan antena pada *software* simulasi. Hasil simulasi awal belum memenuhi spesifikasi yang diinginkan sehingga harus dilakukan optimasi untuk mendapatkan nilai VSWR, *return loss*, dan impedansi terbaik pada frekuensi operasi. Setelah proses optimasi, diperoleh rancangan antena utama seperti tampak pada Gambar 1.

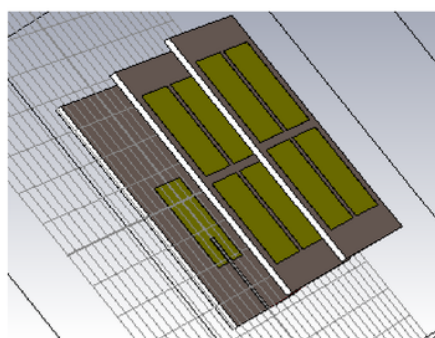


- 2 -

Gambar 1. Bentuk rancangan elemen tunggal

Simulasi elemen tunggal menghasilkan dimensi *patch* dengan ukuran panjang *patch* sebesar 27,5 mm, lebar *patch* 35 mm dan panjang *inset fed* sebesar 8 mm. Dengan simulasi rancangan antena *patch* persegi panjang elemen tunggal ini diperoleh hasil pada frekuensi 2,442 GHz, memiliki *return loss* sebesar -22,293 dB, VSWR pada frekuensi 2,442 GHz, sebesar 1,1664. *Bandwidth* antena berada pada rentang 2,4078 GHz sampai dengan 2,4774 GHz atau memiliki lebar pita 69,9 MHz (2,85%). Sementara itu hasil simulasi *gain* pada elemen tunggal menunjukkan nilai sebesar 3,224 dB.

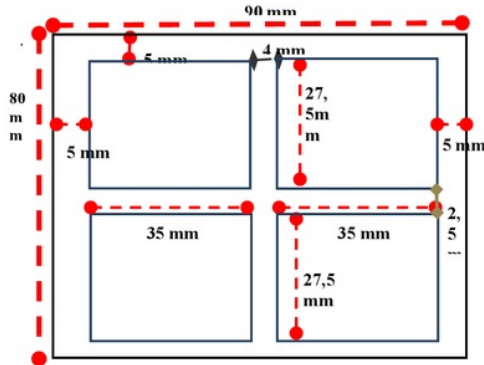
Langkah selanjutnya setelah merancang antena mikrostrip elemen tunggal adalah menambahkan 2 elemen *parasitic* yang masing-masing terdiri dari substrat dan *patch*. Lapisan *parasitic* ini terdiri dari *patch* yang ukuran panjang dan lebarnya sama dengan *patch* antena utama, tetapi jumlahnya empat dengan konfigurasi 2×2 masing-masing pada *layer* kedua dan ketiga. Rancangan antena *multilayer parasitic* ditunjukkan pada Gambar 2.



Gambar 2. Rancangan antena *patch* persegi panjang *multilayer parasitic*

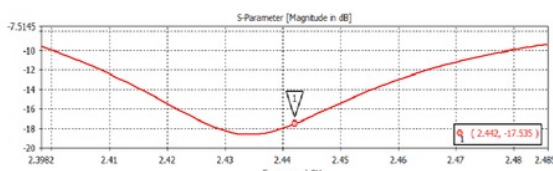
Untuk mendapatkan nilai parameter sesuai spesifikasi yang diinginkan dan nilai *gain* yang optimal dilakukan optimasi rancangan pada *software*. Optimasi dilakukan dengan mengubah-ubah ukuran-ukuran tertentu pada rancangan antena *multilayer parasitic*, lalu dari simulasi *software* dapat dipilih ukuran yang menghasilkan nilai

parameter kinerja antena yang optimal. Secara berturut-turut ukuran yang divariasi adalah panjang dan lebar substrat semua *layer*, jarak pemisah (*air gap*) antar *layer*, jarak antar panjang *patch* dan jarak antar lebar *patch* persegi panjang pada *layer* kedua dan ketiga. Ukuran substrat yang menghasilkan nilai sesuai spesifikasi dan menghasilkan nilai *gain* terbaik adalah 80×90 mm, jarak pemisah antar *layer* 15 mm, dan jarak antar *patch* dalam setiap *layer* ditunjukkan pada Gambar 3

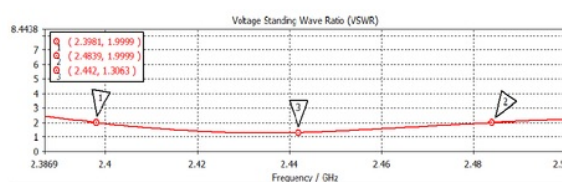


Gambar 3. Rancangan dimensi *layer* kedua dan ketiga antena *patch* persegi panjang *multilayer parasitic*

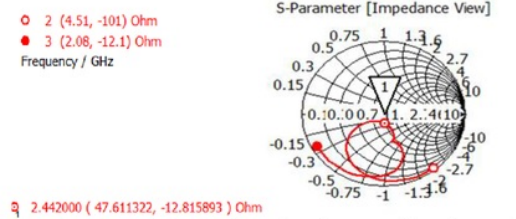
Rancangan dimensi antena *multilayer parasitic* secara keseluruhan disimulasikan untuk mendapatkan parameter kinerja antena. Gambar 4 menunjukkan *return loss* hasil simulasinya sebesar -17,535 dB pada frekuensi 2,442 GHz. Gambar 5 memperlihatkan hasil simulasinya VSWR antena mikrostrip *patch* persegi panjang *multilayer parasitic* sebesar 1,3063 (titik 3) pada frekuensi 2,442 GHz. Dapat juga ditunjukkan nilai *bandwidth* antena berada pada rentang 2,3981 GHz (titik 1) sampai dengan 2,4839 GHz (titik 2), sehingga *bandwidth* yang diperoleh adalah 85,8 MHz atau 3,52%. Pada Gambar 6 menunjukkan nilai impedansi antena mikrostrip *patch* persegi panjang *multilayer parasitic* sebesar 47,61-j12,81 Ω.



Gambar 4. Hasil simulasinya *return loss* antena mikrostrip *patch* persegi panjang *multilayer parasitic*



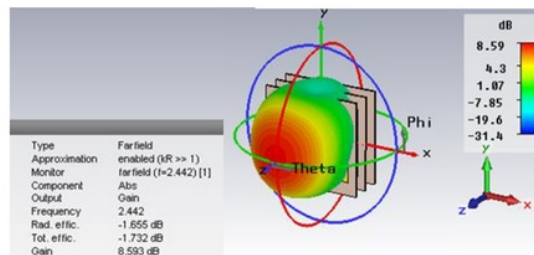
Gambar 5. Hasil simulasinya VSWR antena mikrostrip *patch* persegi panjang *multilayer parasitic*



Gambar 6. Hasil simulasinya Impedansi antena mikrostrip *patch* persegi panjang *multilayer parasitic*

Gambar 7 menunjukkan hasil simulasinya *gain* pada mikrostrip *patch* persegi panjang *multilayer parasitic* menghasilkan *gain* sebesar 8,593 dB. Dari hasil simulasinya ini dapat diketahui bahwa *gain* maksimum meningkat dari *gain* elemen tunggal sebesar 3,224 dB menjadi 8,593 dB ketika ditambahkan *multilayer parasitic*. Hal ini menunjukkan simulasinya desain antena *multilayer parasitic* dapat meningkatkan *gain* antena dari antena mikrostrip elemen tunggal.

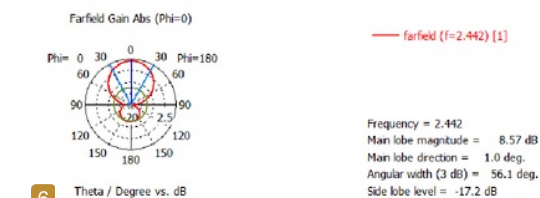
Gambar 8 menunjukkan hasil simulasinya pola radiasi antena mikrostrip *patch* persegi panjang *multilayer parasitic* pada sudut elevasi dan Gambar 9 merupakan pola radiasi azimuth. Keduanya memiliki pola radiasi unidireksional.



Gambar 7. Hasil simulasinya *gain* antena mikrostrip *patch* persegi panjang *multilayer parasitic*



Gambar 8. Hasil simulasinya pola radiasi elevasi antena *multilayer parasitic*



Gambar 9. Hasil simulasinya pola radiasi azimuth antena *multilayer parasitic*

III. HASIL DAN PEMBAHASAN

Rancangan antena hasil simulasi kemudian difabrikasi dengan bahan substrat FR4 Epoxy, sehingga didapatkan bentuk antena seperti pada Gambar 10 dengan dimensi 80 mm × 90 mm × 34,8 mm.



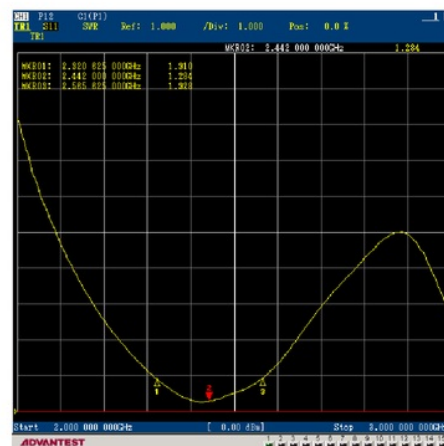
Gambar 10. Bentuk realisasi antena mikrostrip patch persegi panjang *multilayer parasitic*

Untuk menguji hasil rancangan, dilakukan pengukuran pada antena yang telah difabrikasi menggunakan *Spectrum Analyzer* dan *Network Analyzer*. Parameter yang diukur adalah VSWR, *return loss*, impedansi antena, pola radiasi dan gain.

Hasil pengukuran antena *multilayer parasitic* seperti terlihat pada Gambar 11 menunjukkan nilai VSWR dan Gambar 12 menunjukkan nilai *return loss* terbaik masing-masing sebesar 1,284 dan -18,091 dB pada frekuensi 2,442 GHz. Dapat dilihat bahwa VSWR pada marker 1 (MKRO1) sebesar 1,910 pada frekuensi 2,32 GHz dan nilai VSWR pada marker 3 adalah 1,928 pada frekuensi 2,565 GHz, sehingga *bandwidth* pada $VSWR \leq 2$ adalah sebesar 245 MHz atau 10%.

Pengukuran gain antena menggunakan *spectrum analyzer*, *function generator* serta antena *horn* sebagai antena referensi diperoleh nilai gain 9,1 dB. Nilai gain ini lebih baik daripada hasil simulasi.

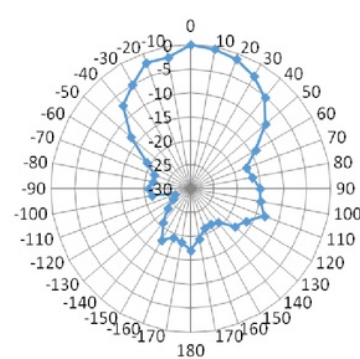
Gambar 13 menunjukkan pengukuran pola radiasi azimuth dan Gambar 14 memperlihatkan pola radiasi elevasi antena hasil fabrikasi. Pada pengukuran sudut azimuth maupun elevasi diperoleh pola *unidirectional* dengan masing-masing memiliki *half power beamwidth* 34° dan 54°.



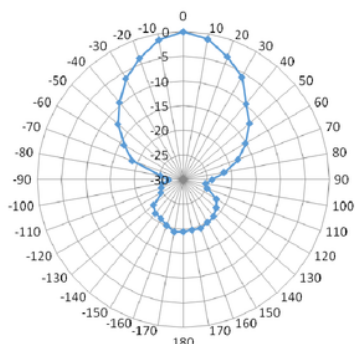
Gambar 11. Hasil pengukuran VSWR antena mikrostrip patch persegi panjang *multilayer parasitic*



Gambar 12. Hasil pengukuran *Return loss* antena mikrostrip patch persegi panjang *multilayer parasitic*



Gambar 13. Hasil pengukuran pola radiasi sudut azimuth



Gambar 14. Hasil pengukuran pola radiasi sudut azimut

Hasil-hasil simulasi maupun pengukuran yang telah dibahas dapat dirangkum pada Tabel 1 yang memperlihatkan perbandingan hasil simulasi antena mikrostrip elemen tunggal dan hasil simulasi antena *multilayer parasitic* serta hasil pengukuran antena *multilayer parasitic* yang telah difabrikasi. Dari hasil simulasi diperoleh diketahui bahwa *gain* maksimum meningkat dari *gain* elemen tunggal sebesar 3,224 dB menjadi 8,593 dB ketika ditambahkan *multilayer parasitic*. Hal ini sejalan dengan hasil simulasi pada [9] yang menunjukkan kenaikan *gain* dari 2,012 dB menjadi 8,656 dB dan simulasi pada [10] yang menghasilkan peningkatan dari 3,85 dB menjadi 8,29 dB dengan penambahan *multilayer parasitic*. Sementara itu jika dilihat kembali pada perancangan antena mikrostrip pada frekuensi yang sama yaitu pada 2,4 GHz, untuk simulasi perancangan antena pada [5] hasil simulasi *gain* untuk elemen tunggal sebesar 3,74 dB dan meningkat menjadi 5,72 dB pada *array* dua elemen. Pada hasil simulasi [6] planar *array* 2x2 (4 elemen) menghasilkan *gain* 7,38 dB. Pada hasil simulasi [7], antena *patch* segiempat tunggal memiliki *gain* 4,023 dB, *array* 2x1 mempunyai *gain* 6,503 dB dan *array* 4x1 memiliki *gain* 8,776 dB. Nilai *gain* untuk *array* 4x1 ini lebih besar daripada hasil simulasi antena pada makalah ini, tetapi peningkatan jumlah elemen array juga meningkatkan jumlah *power divider network* untuk mencatut tiap elemen *array*. Sementara pada perancangan *multilayer* cukup memberikan catuan pada antena utama saja. Pada simulasi [8], *gain* yang diperoleh *array* circular 4 elemen adalah 5,33 dB.

Pada hasil pengukuran bila dibandingkan dengan hasil dalam [5], yaitu untuk antena mikrostrip elemen tunggal dan *array* 2 elemen secara berturut-turut adalah 3,9 dB dan 6,67 dB dapat ditunjukkan nilai *gain* yang lebih baik yaitu 9,1 dB untuk *multilayer parasitic*. *Gain* ini juga lebih besar dibandingkan hasil pengukuran antena pada [6] yaitu planar *array* 2x2 menghasilkan *gain* 8 dB dan pada [8] diperoleh *gain* 6,21 dB pada antena *circular* 4 elemen.

Hasil pengukuran antena dengan *multilayer parasitic* ini juga memperkuat hasil penelitian sebelumnya pada [10] dan [11], yaitu bahwa penambahan *layer parasitic* mampu meningkatkan *gain* dari antena konvensional yang

berupa elemen tunggal. Di sisi lain antena *multilayer* juga memberikan kesederhanaan dalam hal pencatuan dan dimensi yang tidak melebar.

6

Tabel 1. Perbandingan Hasil Simulasi dan Pengukuran

	Hasil Simulasi Antena Elemen Tunggal	Hasil Simulasi Antena Multilayer Parasitic	Hasil Pengukuran Antena Multilayer Parasitic
VSWR	1,1164	1,3063	1,284
Return loss (dB)	-22,293	-17,535	-18,091
Gain	3,224	8,593	9,1
Bandwidth	69,9	85,8	245

Selain pengukuran parameter kinerja antena, dilakukan juga pengujian tingkat penerimaan daya antena dengan cara memasang antena mikrostrip pada *router Wi-Fi* 2,4 GHz dan diukur tingkat daya yang diterima, kemudian dibandingkan dengan hasil daya terima dari antena *dipole* dari *router* tersebut sama seperti yang telah dilakukan pada [5]. Hasil pengukuran tingkat penerimaan daya ditunjukkan pada Tabel 2.

Jika mengamati data yang diperoleh pada [5], maka selisih tingkat penerimaan daya antara mikrostrip *multilayer parasitic* dengan antena *router Wi-Fi* akan lebih besar dibandingkan selisih tingkat penerimaan daya antara mikrostrip *array* dua elemen dengan antena *router Wi-Fi*. Dengan demikian dalam pengujian tingkat penerimaan daya pada *router Wi-Fi* antena *multilayer parasitic* memberikan hasil lebih baik daripada antena *array* dua elemen [5].

Tabel 2. P Hasil pengujian tingkat penerimaan daya antena pada *router Wi-Fi*

Jarak	Daya terima antena <i>router</i> (dBm)	Daya terima antena <i>multilayer parasitic</i> (dBm)
2	-41	-26
3	-47	-30
4	-51	-34
5	-52	-40
6	-53	-42
7	-57	-48

IV. KESIMPULAN

Berdasarkan hasil simulasi, metode *multilayer parasitic* dapat meningkatkan nilai *gain* antena mikrostrip elemen tunggal dari 3,224 dB menjadi 8,593 dB pada frekuensi 2,442 GHz. Hasil pengukuran realisasi antena mikrostrip *patch* persegi panjang *multilayer parasitic* menunjukkan nilai VSWR adalah 1,284 dan *return loss* sebesar -18,091 dB pada frekuensi 2,442 GHz. *Bandwidth* antena mikrostrip *patch* persegi panjang *multilayer*

parasitic pada nilai $VSWR \leq 2$ adalah 245 MHz (10%). *Gain* antena mikrostrip *patch* persegi panjang *multilayer parasitic* dari hasil pengukuran adalah 9,1 dB pada frekuensi 2,442 GHz. Antena yang direalisasikan mempunyai dimensi 80 mm \times 90 mm \times 34,8 mm dan memiliki pola radiasi unidirectional. Antena yang dirancang dapat dipalikasikan pada *router Wi-Fi* dan memberikan tingkat penerimaan daya yang lebih besar daripada antena dipole *router Wi-Fi*.

2 UCAPAN TERIMA KASIH

Penulis mengucapkan terima kasih kepada Universitas Kristen Satya Wacana yang telah mendukung pendanaan penelitian ini dan kepada Pusat Penelitian Elektronika dan Telekomunikasi Lembaga Ilmu Pengetahuan Indonesia yang telah memberikan sarana pengukuran untuk menguji hasil perancangan dalam penelitian ini.

DAFTAR PUSTAKA

- [1] S. Banerji, R. S. Chowdhury, "On IEEE 802.11: Wireless LAN Technology" International Journal of Mobile Network Communications & Telematics (IJMNCT), Vol. 12, no. 4, 2013
- [2] W. L. Stutzman, and G.A. Thiele, *Antenna Theory and Design* 3rd edition, John Willey and Sons, USA, 2013
- [3] C.A. Balanis, *Antenna Theory: Analysis and Design*, John Wiley and Son, USA, 2005.
- [4] P. Pandey, N. Agrawal and A. Agrawal, "A Survey on Performance Techniques for Microstrip Patch Antenna", International Journal of Research and Analytical Reviews (IJRAR), vol. 6, no. 1, pp 669-676, January 2015
- [5] E.Y.D. Utami., F.D. Setiaji, D. Pebrianto, "Rancang Bangun Antena Mikrostrip Persegi Panjang 2,4 GHz untuk Aplikasi Wireless Fidelity (Wi-Fi)". Jurnal Nasional Teknik Elektro, vol. 6, no. 3, pp. 196-202, Nov. 2017
- [6] W. Indani, A. H. Rambe, "Rancang Bangun Antena Mikrostrip Patch Segiempat dengan Teknik Planar Array untuk Aplikasi Wireless-LAN". Jurnal Singuda Enskom, 11, 1, no. 2, pp. 47-52, Februari 2013
- [7] L. Kaushal, R. K. Mishra, "Linear Arrays of Rectangular Microstrip Patch Antennas: Analysis & Performance Assessment", International Journal of Innovations in Engineering and Technology (IJIET), vol. 5, no. 4, pp. 180-188, August 2015
- [8] E. A. Dahlan, D. Fadila K, R. Tawakal, "Rancang bangun antena microstrip circular array four element 2,4 GHz dengan pola radiasi bidirectional", Jurnal EECCIS vol. 2, No 4, pp. 44-49, Juni 2008
- [9] R. Abdullah, M.T. Ali,,N. Ismail, S. Omar, N. N. S. N. Dzulkifli, "Multilayer parasitic microstrip antenna array for WiMAX application", IEEE Asia-Pacific Conference on Applied Electromagnetics (APACE), Melaka, Malaysia, 11-13 December 2012
- [10] A. B. Santu, K. Paramayudha, Y. Wahyu, Sumartono, H. Wijanto, "Design and realization multi layer parasitic for gain enhancement of microstrip patch antenna", International Seminar on Intelligent Technology and Its Applications (ISITIA), Lombok, Indonesia, 28-30 July 2016

Peningkatan Gain dengan Teknik Multilayer Parasitic pada Perancangan Antena Mikrostrip Persegi Panjang 2,4 GHz

ORIGINALITY REPORT

17 %

SIMILARITY INDEX

PRIMARY SOURCES

- | | | |
|---|--|---------------|
| 1 | www.scribd.com
Internet | 55 words — 2% |
| 2 | docplayer.info
Internet | 51 words — 2% |
| 3 | Abdelhadi M. Aburgiga, Nafaa M. Shebani, Amer R. Zerek, Abdalnaser F. Kaeib. "Simulation and Analysis of Microstrip Patch Antenna for WLAN Applications", 2019 19th International Conference on Sciences and Techniques of Automatic Control and Computer Engineering (STA), 2019
<small>Crossref</small> | 36 words — 1% |
| 4 | www.ijert.org
Internet | 28 words — 1% |
| 5 | jntc.ft.unand.ac.id
Internet | 28 words — 1% |
| 6 | media.neliti.com
Internet | 27 words — 1% |
| 7 | Nurista Wahyu Kirana, Sholeh Hadi P., Erni Y.. "Desain dan Implementasi Variasi Dimensi Slot Pada Mikrostrip Double F Menggunakan Metode Finite Difference Time Domain (FDTD)", Jurnal Elektronika dan Telekomunikasi, 2016
<small>Crossref</small> | 27 words — 1% |
| 8 | jurnal.umj.ac.id
Internet | 26 words — 1% |

- 9 www.ccsarchive.org
Internet 25 words — 1%
- 10 Arun Kumar. "A microstrip UWB antenna for next generation communication system", International Journal of Wireless and Mobile Computing, 2018
Crossref 23 words — 1%
- 11 Ashish Kumar, A.P. Singh. "Design of Bulk Micro-Machined Patch Antenna Arrays for Earth Exploration Satellite Services", 2019 6th International Conference on Signal Processing and Integrated Networks (SPIN), 2019
Crossref 23 words — 1%
- 12 repositorio.uax.es
Internet 20 words — 1%
- 13 ft.usu.ac.id
Internet 19 words — 1%
- 14 garuda.ristekdikti.go.id
Internet 16 words — 1%
- 15 globaljournals.org
Internet 15 words — < 1%
- 16 Kian Sen Ang. "Converting baluns into broad-band impedance-transforming 180° hybrids", IEEE Transactions on Microwave Theory and Techniques, 8/2002
Crossref 14 words — < 1%
- 17 laili-hidayati.blogspot.com
Internet 10 words — < 1%
- 18 hal.archives-ouvertes.fr
Internet 10 words — < 1%
- 19 lipi.go.id
Internet 10 words — < 1%

- 20 Wida Lidiawati, Lia Muliani Pratomo, Waslaluddin -, Jojo Hidayat. "Otomatisasi Lampu, Tirai, dan Kipas Angin Menggunakan Mikrokontroler untuk Menghemat Energi Listrik", Jurnal Elektronika dan Telekomunikasi, 2016
Crossref
- 9 words — < 1%
- 21 Yahya Syukri Amrullah, Arief Budi Santiko, Bayu Heri Prabowo, Yuyu Wahyu. "Desain dan Realisasi Antena Mikrostrip Patch Persegi Susunan Linier dengan Teknik Pencatuan Proximity Coupled pada Frekuensi 4 ,3 GHz untuk Radio Altimeter Pesawat", Jurnal Elektronika dan Telekomunikasi, 2016
Crossref
- 8 words — < 1%
- 22 fr.scribd.com Internet
- 8 words — < 1%
- 23 resepmenulis.blogspot.com Internet
- 8 words — < 1%
- 24 Leila Yousefi. "<![CDATA[Enhanced Bandwidth Artificial Magnetic Ground Plane for Low-Profile Antennas]]>", Antennas and Wireless Propagation Letters, 2007
Crossref
- 8 words — < 1%
- 25 T. Tanaka. "Dielectric nanocomposites with insulating properties", IEEE Transactions on Dielectrics and Electrical Insulation, 10/2005
Crossref
- 8 words — < 1%
- 26 Zhifang Li. "Designing broad-band patch antennas using the sequential quadratic programming method", IEEE Transactions on Antennas and Propagation, 1997
Crossref
- 8 words — < 1%
- 27 Arman Sani, Ali Syah Sukri, Naemah Mubarakah, M. Razali. "Design and Realization of Biquad Microstrip Antenna at 2.4 GHz Frequency for WLAN", 2018 IEEE International Conference on Communication, Networks and Satellite (Comnetsat), 2018
Crossref
- 6 words — < 1%

- 28 Jamlos, M. A., M. F. Jamlos, Sabira Khatun, and A. H. Ismail. "An optimum quarter-wave impedance matching feedline for circular UWB array antenna with high gain performance", 2014 IEEE Symposium on Wireless Technology and Applications (ISWTA), 2014.

Crossref

6 words — < 1%

EXCLUDE QUOTES

OFF

EXCLUDE MATCHES

OFF

EXCLUDE

ON

BIBLIOGRAPHY